

# Transformada Z com Ênfase em Filtros Digitais

Bem-vindos a este curso completo sobre a Transformada Z e sua aplicação no projeto de filtros digitais. Durante nossa jornada, exploraremos desde os fundamentos matemáticos até implementações práticas em sistemas reais.

Este material foi desenvolvido especialmente para estudantes de engenharia e profissionais que trabalham com processamento de sinais digitais, combinando rigor teórico com aplicações práticas relevantes para o mercado atual.

Prof. Moacy Pereira da Silva  
IFPB - Campus Campina Grande

$$Z^{-1}\{X(z)\} = x[n]$$

$$x[n] = Z^{-1}\{X(z)\}$$



Courcse Z-Transform Stydy LOnit

1. Fundamentals of Z-Transform and its applications in digital signal processing.

2. Discrete-time Fourier Transform (DTFT) and its properties.

3. Discrete-time Fourier Transform (DTFT) and its properties.

4. Discrete-time Fourier Transform (DTFT) and its properties.

5. Discrete-time Fourier Transform (DTFT) and its properties.

6. Discrete-time Fourier Transform (DTFT) and its properties.

7. Discrete-time Fourier Transform (DTFT) and its properties.

8. Discrete-time Fourier Transform (DTFT) and its properties.

9. Discrete-time Fourier Transform (DTFT) and its properties.

10. Discrete-time Fourier Transform (DTFT) and its properties.

11. Discrete-time Fourier Transform (DTFT) and its properties.

12. Discrete-time Fourier Transform (DTFT) and its properties.

13. Discrete-time Fourier Transform (DTFT) and its properties.

14. Discrete-time Fourier Transform (DTFT) and its properties.

15. Discrete-time Fourier Transform (DTFT) and its properties.

16. Discrete-time Fourier Transform (DTFT) and its properties.

17. Discrete-time Fourier Transform (DTFT) and its properties.

18. Discrete-time Fourier Transform (DTFT) and its properties.

19. Discrete-time Fourier Transform (DTFT) and its properties.

20. Discrete-time Fourier Transform (DTFT) and its properties.

Abstract: This paper presents a comprehensive study of the Z-transform and its applications in digital signal processing. The paper covers the fundamental properties of the Z-transform, including the DTFT and the DTFT, and discusses the applications of the Z-transform in digital signal processing. The paper also presents a detailed analysis of the Z-transform and its applications in digital signal processing.

Equation: 
$$X(z) = \sum_{n=-\infty}^{\infty} x[n] z^{-n}$$

Agenda do Curso



Introdução e Conceitos Fundamentais

Fundamentos matemáticos da Transformada Z e sua importância no processamento digital de sinais



Análise de Sistemas Discretos

Aplicação da Transformada Z na análise de sistemas LTI e obtenção de funções de transferência



Projeto de Filtros Digitais

Metodologias para desenvolvimento de filtros FIR e IIR usando Transformada Z



Implementação e Casos Práticos

Técnicas de implementação e estudos de caso com ferramentas computacionais

Este curso foi estruturado para proporcionar uma progressão lógica do conhecimento, partindo de conceitos fundamentais para aplicações práticas avançadas. Cada módulo construirá sobre o anterior, culminando em projetos reais de filtros digitais.

# Motivação para o Estudo da Transformada Z

## Revolução Digital

O processamento digital de sinais revolucionou praticamente todos os campos da engenharia moderna, desde telecomunicações até medicina, criando demanda por profissionais com conhecimento em ferramentas matemáticas especializadas.

## Análise Eficiente

A Transformada Z oferece um framework matemático poderoso para analisar sistemas discretos, simplificando equações de diferença complexas e facilitando o projeto de filtros digitais otimizados.

## Aplicações Práticas

Dos smartphones aos equipamentos médicos, dos sistemas de áudio aos radares, filtros digitais projetados com auxílio da Transformada Z estão presentes em inúmeras tecnologias que utilizamos diariamente.

A crescente miniaturização dos componentes eletrônicos e o aumento da capacidade de processamento tornam o domínio das técnicas de processamento digital cada vez mais relevante, justificando o investimento no aprendizado aprofundado da Transformada Z.

# Aplicações em Processamento de Sinais



## Processamento de Áudio

Equalização, remoção de ruído, compressão, síntese e reconhecimento de fala, todos utilizando filtros digitais baseados em Transformada Z para manipulação precisa de sinais sonoros.



## Biomedicina

Processamento de ECG, EEG, tomografia computadorizada e ressonância magnética, onde filtros são essenciais para extrair informações relevantes de sinais biológicos complexos.



## Telecomunicações

Modulação, demodulação, equalização de canal, sistemas de comunicação móvel e satélite, empregando técnicas de filtragem digital para maximizar a eficiência do espectro.



## Radar e Sonar

Deteção, rastreamento e classificação de alvos, utilizando filtros digitais sofisticados para extrair informações úteis de sinais contaminados por ruído e interferência.

Essas aplicações representam apenas uma fração dos campos onde a Transformada Z e os filtros digitais são ferramentas indispensáveis, demonstrando a versatilidade e importância dessa área do conhecimento.

# Definição da Transformada Z

## Transformada Z Unilateral

Definida para sequências causais ( $x[n] = 0$  para  $n < 0$ ):

$$X(z) = \sum_{n=0}^{\infty} x[n]z^{-n}$$

Aplicada majoritariamente em sistemas causais e análise de estabilidade de sistemas.

## Transformada Z Bilateral

Definida para sequências genéricas:

$$X(z) = \sum_{n=-\infty}^{\infty} x[n]z^{-n}$$

Utilizada em análise teórica e sistemas não-causais, oferecendo uma visão mais completa das propriedades do sinal.

A Transformada Z mapeia um sinal discreto no tempo  $x[n]$  para o domínio complexo  $z$ , resultando na função  $X(z)$ . Esta transformação converte operações complexas como convolução em operações algébricas mais simples, facilitando a análise e design de sistemas discretos.

Conceitualmente, a Transformada Z pode ser interpretada como uma generalização da Transformada de Laplace para sinais discretos, ou como uma representação em série de potências do sinal.

# Região de Convergência (ROC)



## Definição Matemática

A ROC é o conjunto de valores de  $z$  para os quais a série que define a Transformada Z converge absolutamente:  
 $\sum |x[n]z^{-n}| < \infty$ .



## Características Geométricas

No plano complexo  $z$ , a ROC geralmente assume a forma de um anel:  $r_1 < |z| < r_2$ , onde  $r_1$  e  $r_2$  dependem das propriedades do sinal  $x[n]$ .



## Importância para Sistemas

A ROC determina a estabilidade do sistema: um sistema é estável se e somente se a ROC inclui o círculo unitário  $|z| = 1$ .



## Unicidade da Transformada

A especificação completa da Transformada Z requer tanto a expressão  $X(z)$  quanto sua ROC, pois diferentes sinais podem ter a mesma expressão algébrica com ROCs distintas.

A análise da ROC é fundamental para determinar as propriedades de causalidade e estabilidade dos sistemas, sendo um aspecto crucial no projeto de filtros digitais confiáveis e implementáveis.



# Relação com a Transformada de Fourier Discreta no Tempo (DTFT)

## Conexão Matemática

A DTFT é um caso especial da Transformada Z avaliada no círculo unitário:

$$X(e^{j\omega}) = X(z) \big|_{z=e^{j\omega}}$$

Onde  $\omega$  representa a frequência angular normalizada e varia de  $-\pi$  a  $\pi$ .

A relação entre Transformada Z e DTFT é fundamental para o projeto de filtros digitais, pois permite traduzir especificações de frequência (como bandas de passagem e rejeição) em requisitos no domínio Z (localização de polos e zeros).

Esta conexão também explica por que a estabilidade requer que a ROC inclua o círculo unitário: para que a resposta em frequência seja bem definida, a Transformada Z deve convergir em  $|z| = 1$ .

## Interpretação Geométrica

No plano complexo  $z$ , a DTFT corresponde à avaliação da Transformada Z no círculo unitário  $|z| = 1$ , fornecendo a resposta em frequência do sistema.

Esta interpretação geométrica facilita a visualização da conexão entre polos, zeros e comportamento em frequência do sistema.



# Sistemas Lineares Invariantes no Tempo (LTI)

## Linearidade

Se as entradas  $x_1[n]$  e  $x_2[n]$  produzem saídas  $y_1[n]$  e  $y_2[n]$ , então a entrada  $ax_1[n] + bx_2[n]$  produzirá a saída  $ay_1[n] + by_2[n]$ .

## Representação no Domínio Z

A função de transferência  $H(z)$  é a Transformada Z da resposta ao impulso:  $H(z) = Z\{h[n]\}$ , relacionando entrada e saída por  $Y(z) = H(z)X(z)$ .



## Invariância Temporal

Se a entrada  $x[n]$  produz a saída  $y[n]$ , então a entrada  $x[n-k]$  (versão atrasada) produzirá a saída  $y[n-k]$  (igualmente atrasada).

## Descrição Matemática

Um sistema LTI discreto pode ser completamente caracterizado por sua resposta ao impulso  $h[n]$ , com a saída dada pela convolução:  $y[n] = x[n] * h[n]$ .

Os sistemas LTI formam a base teórica para o projeto de filtros digitais, pois suas propriedades previsíveis facilitam a análise matemática e garantem comportamento consistente para diferentes sinais de entrada.

# Resposta ao Impulso e Função de Transferência

## Definição da Resposta ao Impulso

A resposta ao impulso  $h[n]$  é a saída do sistema quando a entrada é o impulso unitário  $\delta[n]$  (1 em  $n=0$ , 0 nos demais pontos).

Para sistemas LTI, a resposta ao impulso contém toda a informação necessária para caracterizar completamente o comportamento do sistema.

A função de transferência fornece insights valiosos sobre as características do sistema no domínio da frequência, sendo uma ferramenta essencial para projeto e análise de filtros digitais. A partir dela, podemos determinar a resposta em frequência, estabilidade e comportamento transitório do sistema.

## Função de Transferência

No domínio Z, a função de transferência  $H(z)$  é a razão entre a Transformada Z da saída e a Transformada Z da entrada:

$$H(z) = Y(z)/X(z) = Z\{h[n]\}$$

Tipicamente representada como razão de polinômios:

$$H(z) = (b_0 + b_1z^{-1} + \dots + b_mz^{-m}) / (1 + a_1z^{-1} + \dots + a_nz^{-n})$$

# Representação por Equações de Diferença

## Forma Geral da Equação de Diferença

Um sistema LTI pode ser descrito pela equação:

$$y[n] + a_1y[n-1] + \dots + a_Ny[n-N] = \\ b_0x[n] + b_1x[n-1] + \dots + b_Mx[n-M]$$

Onde  $\{a_i\}$  e  $\{b_i\}$  são coeficientes constantes,  $x[n]$  é a entrada e  $y[n]$  é a saída do sistema.

## Relação com a Função de Transferência

Aplicando a Transformada Z à equação de diferença:

$$Y(z)(1 + a_1z^{-1} + \dots + a_Nz^{-N}) = \\ X(z)(b_0 + b_1z^{-1} + \dots + b_Mz^{-M})$$

Resultando na função de transferência:

$$H(z) = Y(z)/X(z) = \\ (b_0 + b_1z^{-1} + \dots + b_Mz^{-M}) / \\ (1 + a_1z^{-1} + \dots + a_Nz^{-N})$$

Esta representação é particularmente útil para implementação digital, pois a equação de diferença traduz-se diretamente em algoritmos computacionais. Cada termo da equação corresponde a uma operação básica (multiplicação, adição, armazenamento) no processamento digital.

# Tipos de Filtros Digitais: FIR



## Estrutura Matemática

Filtros de Resposta Finita ao Impulso (FIR) possuem equação de diferença sem termos recursivos:

$$y[n] = b_0x[n] + b_1x[n-1] + \dots + b_mx[n-M]$$



## Função de Transferência

A função de transferência contém apenas zeros (exceto possíveis zeros na origem):

$$H(z) = b_0 + b_1z^{-1} + \dots + b_mz^{-M}$$



## Estabilidade Garantida

Filtros FIR são inerentemente estáveis devido à ausência de polos fora da origem, tornando-os robustos contra problemas de precisão numérica.



## Fase Linear

Podem ser facilmente projetados com fase linear exata (coeficientes simétricos), proporcionando distorção de fase nula, crucial em muitas aplicações.

Os filtros FIR são amplamente utilizados em aplicações que exigem resposta de fase precisa, como processamento de áudio, radar/sonar e comunicações digitais. A implementação direta é simples, embora possam requerer ordens elevadas para atender especificações rigorosas de seletividade.

# Tipos de Filtros Digitais: IIR



## Estrutura Recursiva

Filtros de Resposta Infinita ao Impulso (IIR) incluem termos recursivos na equação de diferença:

$$y[n] + a_1y[n-1] + \dots + a_ny[n-N] = b_0x[n] + b_1x[n-1] + \dots + b_mx[n-M]$$



## Função de Transferência

Contém tanto polos quanto zeros:

$$H(z) = (b_0 + b_1z^{-1} + \dots + b_mz^{-M}) / (1 + a_1z^{-1} + \dots + a_nz^{-N})$$



## Potencial Instabilidade

A presença de polos pode levar à instabilidade se não estiverem dentro do círculo unitário, exigindo cuidado no projeto e implementação.



## Eficiência Computacional

Geralmente atingem especificações de seletividade com ordens menores que filtros FIR equivalentes, resultando em menor custo computacional.

Os filtros IIR são inspirados em filtros analógicos clássicos (Butterworth, Chebyshev, etc.) e oferecem excelente eficiência em aplicações onde a fase linear não é crítica. São amplamente utilizados em equalizadores, filtros de áudio e sistemas de controle digital.

# Projeto de Filtros no Domínio Z

## Especificação de Requisitos

Definição das características desejadas: tipo de filtro (passa-baixa, passa-alta, etc.), frequências de corte, atenuação nas bandas de rejeição, ripple máximo na banda passante, e requisitos de fase.

## Seleção da Estratégia de Projeto

Escolha entre filtros FIR ou IIR baseada nos requisitos de fase, ordem do filtro e recursos computacionais disponíveis. Para IIR, seleção do tipo de aproximação (Butterworth, Chebyshev, Elíptico).

## Determinação dos Coeficientes

Cálculo dos coeficientes  $\{a_i\}$  e  $\{b_i\}$  da função de transferência  $H(z)$  utilizando métodos como: amostragem de frequência, janelamento, invariância ao impulso ou transformações bilineares.

## Verificação e Refinamento

Análise da resposta do filtro projetado, verificação do atendimento aos requisitos e refinamento iterativo dos coeficientes se necessário.

O projeto no domínio Z oferece grande flexibilidade, permitindo posicionar estrategicamente polos e zeros para atingir características específicas de filtragem, aproveitando o conhecimento intuitivo da relação entre a localização desses elementos e a resposta em frequência.

# Polos e Zeros: Interpretação Geométrica

## Definição Matemática

Considerando a função de transferência como razão de polinômios:

$$H(z) = k \cdot \frac{(z-z_1)(z-z_2)\dots(z-z_m)}{(z-p_1)(z-p_2)\dots(z-p_n)}$$

Onde  $\{z_i\}$  são os zeros,  $\{p_i\}$  são os polos e  $k$  é o ganho.

O posicionamento estratégico de polos e zeros é a essência do projeto de filtros no domínio  $Z$ . Por exemplo, zeros no círculo unitário em  $z = e^{j\omega_0}$  criam rejeição completa na frequência  $\omega_0$ , enquanto polos próximos ao círculo unitário (mas dentro dele para garantir estabilidade) criam picos de ressonância.

A simetria conjugada de polos e zeros é necessária para filtros com coeficientes reais, resultando em resposta em frequência simétrica em relação à frequência normalizada  $\pi$ .

## Efeito na Resposta em Frequência

Para qualquer ponto  $z = e^{j\omega}$  no círculo unitário:

- Zeros próximos causam atenuação na resposta em frequência naquela frequência  $\omega$
- Polos próximos causam amplificação na resposta em frequência
- A fase é influenciada pela direção relativa aos polos e zeros

# Estabilidade no Domínio Z



## Critério de Estabilidade BIBO

Um sistema LTI discreto é Bounded-Input, Bounded-Output (BIBO) estável se e somente se sua resposta ao impulso é absolutamente somável:  $\sum |h[n]| < \infty$ .



## Condição no Domínio Z

Um sistema LTI é estável se e somente se todos os polos da função de transferência  $H(z)$  estão localizados estritamente dentro do círculo unitário:  $|p_i| < 1$  para todo polo  $p_i$ .



## Implementação Prática

Efeitos de precisão finita (quantização) podem deslocar polos e comprometer a estabilidade de sistemas próximos ao limite de estabilidade, exigindo margens de segurança no projeto.



## Verificação

A estabilidade pode ser verificada algebricamente usando o critério de Jury ou analisando diretamente a localização dos polos no plano Z após fatoração da função de transferência.

A estabilidade é um requisito fundamental para filtros práticos, garantindo que o sistema não amplifique indefinidamente sinais de entrada limitados. Em implementações digitais de ponto fixo, polos muito próximos ao círculo unitário podem causar problemas devido à quantização de coeficientes.



# Causalidade no Domínio Z

## Definição de Causalidade

Um sistema é causal se a saída em qualquer instante depende apenas da entrada atual e de entradas passadas, nunca de entradas futuras.

Matematicamente, a resposta ao impulso  $h[n]$  de um sistema causal satisfaz  $h[n] = 0$  para  $n < 0$ .

A causalidade é uma propriedade essencial para sistemas que operam em tempo real, como processadores de áudio e controladores digitais. Sistemas não-causais podem ser implementados apenas em aplicações off-line, onde o sinal completo está disponível para processamento.

Filtros de fase linear FIR são tipicamente não-causais em sua forma teórica, mas podem ser tornados causais pela introdução de um atraso adequado.

## Condições no Domínio Z

Para sistemas racionais, a causalidade impõe restrições à função de transferência  $H(z)$ :

- Se o sistema for causal e estável, a ROC de  $H(z)$  deve ser exterior a todos os polos
- $H(z)$  deve ser própria: o grau do numerador não pode exceder o grau do denominador
- O limite de  $H(z)$  quando  $|z| \rightarrow \infty$  deve ser finito

# Implementação Direta de Filtros Digitais

## Forma Direta I

Implementação que segue diretamente a equação de diferença:

$$y[n] = \sum_{k=0 \text{ até } M} b_k x[n-k] - \sum_{k=1 \text{ até } N} a_k y[n-k]$$

Requer  $M+N$  elementos de atraso, mas separa claramente as partes de alimentação direta (feedforward) e retroalimentação (feedback).

## Forma Direta II

Implementação mais eficiente que combina os elementos de atraso:

$$\begin{aligned} w[n] &= x[n] - \sum_{k=1 \text{ até } N} a_k w[n-k] \\ y[n] &= \sum_{k=0 \text{ até } M} b_k w[n-k] \end{aligned}$$

Requer apenas  $\max(M,N)$  elementos de atraso, tornando-a computacionalmente mais eficiente.

As formas diretas são conceitualmente simples e fáceis de implementar, mas podem ser sensíveis a efeitos de precisão finita, especialmente para filtros de ordem elevada. A Forma Direta II é geralmente preferida por sua eficiência em termos de memória, embora possa apresentar maior sensibilidade à quantização em aplicações de ponto fixo.

Ambas as formas produzem resultados matematicamente equivalentes em precisão infinita, mas podem ter comportamentos diferentes sob quantização.

# Implementação em Cascata



## Fatoração da Função de Transferência

Decomposição de  $H(z)$  em produto de seções de segunda ordem (SOS):

$$H(z) = K \cdot \prod_{i=1}^{\text{até } L} (b_{0i} + b_{1i}z^{-1} + b_{2i}z^{-2}) / (1 + a_{1i}z^{-1} + a_{2i}z^{-2})$$



## Conexão em Série

As seções são implementadas individualmente e conectadas em série, com a saída de cada seção alimentando a entrada da próxima.



## Ordenação das Seções

A ordem das seções afeta o desempenho numérico. Tipicamente, seções com polos mais próximos ao círculo unitário são colocadas no início da cascata.



## Vantagens Numéricas

Cada seção de segunda ordem tem sensibilidade limitada a efeitos de quantização, resultando em implementação mais robusta para filtros de ordem elevada.

A implementação em cascata é amplamente utilizada para filtros IIR de ordem elevada, pois distribui o erro de quantização entre as seções. Esta estrutura evita a concentração de erros numéricos que ocorre nas formas diretas, tornando-se a implementação preferida para aplicações críticas de processamento de sinais.

# Implementação em Paralelo



## Expansão em Frações Parciais

Decomposição de  $H(z)$  em soma de seções de primeira e segunda ordem:

$$H(z) = K + \sum_{i=1 \text{ até } L} (c_i / (1 - p_i z^{-1})) + \sum_{j=1 \text{ até } M} (d_{0j} + d_{1j} z^{-1}) / (1 + e_{1j} z^{-1} + e_{2j} z^{-2})$$



## Conexão em Paralelo

A mesma entrada é fornecida a todas as seções simultaneamente, e suas saídas são somadas para formar a saída final do sistema.



## Vantagens Estruturais

Evita efeitos de saturação intermediária em implementações de ponto fixo, pois a faixa dinâmica é distribuída entre os ramos paralelos.



## Paralelização de Processamento

Permite implementação em hardware com processamento paralelo genuíno, aumentando a eficiência em arquiteturas multiprocessador.

A implementação em paralelo é particularmente adequada para filtros com picos ou vales pronunciados na resposta em frequência, onde cada seção pode ser responsável por uma característica específica. Esta estrutura também apresenta excelente desempenho em termos de ruído de quantização para muitas classes de filtros IIR.

# Estruturas Canônicas

## Definição e Objetivo

Estruturas canônicas são implementações que utilizam o número mínimo de elementos de atraso (registradores) necessários para realizar uma função de transferência específica.

Para um filtro de ordem  $N$ , uma estrutura canônica requer exatamente  $N$  elementos de atraso, minimizando requisitos de memória e, potencialmente, erros de quantização.

## Forma Transposta

Obtida pela transposição do grafo de fluxo de sinal: invertendo a direção de todos os ramos e trocando entradas por saídas.

A Forma Direta II Transposta (DFIIT) é particularmente popular por sua baixa sensibilidade a erros de quantização em coeficientes e minimização de efeitos de overflow em cálculos intermediários.

## Outras Estruturas Avançadas

Formas Lattice, baseadas em estágios de reflexão em cascata, oferecem excelente estabilidade numérica e sensibilidade uniforme aos coeficientes.

Estruturas Wave Digital Filters (WDF) mantêm propriedades desejáveis de filtros analógicos como passividade e limitação de faixa, importantes em simulações físicas.

A escolha da estrutura de implementação tem impacto significativo no desempenho prático do filtro digital, afetando não apenas a eficiência computacional, mas também a robustez a erros de quantização e estabilidade numérica em implementações de hardware real.

# Métodos de Obtenção da Transformada Z Inversa



## Tabela de Pares

Utilização de tabelas de pares conhecidos de transformada Z e reconhecimento de padrões em expressões complexas, frequentemente com aplicação de propriedades como linearidade e deslocamento.



## Expansão em Série de Potências

Representação de  $X(z)$  como série de potências e identificação direta dos coeficientes  $x[n]$ :

$$X(z) = \sum_{n=0}^{\infty} x[n]z^{-n}$$



## Divisão Polinomial

Para funções racionais, divisão longa do numerador pelo denominador para obter expansão em série de potências, especialmente útil para os primeiros termos da sequência.



## Frações Parciais

Decomposição de  $X(z)$  em frações simples e aplicação da transformada inversa a cada termo, particularmente eficaz para funções racionais com polos distintos.

A transformada Z inversa é fundamental para análise no domínio do tempo de sistemas descritos por suas funções de transferência. Para funções racionais complexas, a abordagem de frações parciais combinada com reconhecimento de padrões geralmente oferece o caminho mais eficiente para obtenção da resposta temporal.

# Método de Frações Parciais

## Preparação da Função Racional

Converter  $X(z)$  para formato adequado, garantindo que o grau do numerador seja menor que o denominador (dividindo se necessário) e expressando em termos de  $z$  (não  $z^{-1}$ ):

$$X(z) = P(z)/Q(z) \text{ onde } \text{grau}(P) < \text{grau}(Q)$$

## Fatoração do Denominador

Determinar os polos de  $X(z)$  fatorando o denominador:

$$Q(z) = (z-p_1)^{r_1}(z-p_2)^{r_2}\dots(z-p_m)^{r_m}$$

Onde  $p_i$  são os polos distintos e  $r_i$  são suas multiplicidades.

## Expansão em Frações Parciais

Para cada polo  $p_i$  de multiplicidade  $r_i$ , determinar os coeficientes  $A_{ij}$ :

$$X(z) = \sum_{i=1}^m \sum_{j=1}^{r_i} \frac{A_{ij}}{(z-p_i)^j}$$

## Aplicação da Transformada Inversa

Para cada termo da expansão, aplicar o par conhecido:

$$Z^{-1}\{1/(z-p)^r\} = [n^{r-1}/(r-1)!]p^{n-r+1}u[n]$$

Onde  $u[n]$  é a função degrau unitário.

O método de frações parciais é especialmente poderoso para funções racionais complexas, permitindo decompor expressões complicadas em combinações lineares de formas padrão com transformadas inversas conhecidas. A técnica é particularmente útil na análise da resposta temporal de sistemas IIR de ordem elevada.

# Método de Expansão em Série de Potências

## Princípio do Método

A Transformada Z é essencialmente uma série de potências:

$$X(z) = \sum_{n=0 \text{ até } \infty} x[n]z^{-n}$$

Portanto, se expandirmos  $X(z)$  em série de potências de  $z^{-1}$ , os coeficientes dessa expansão são exatamente os valores  $x[n]$  da sequência original.

Este método é particularmente útil para determinar os primeiros termos da sequência  $x[n]$  quando a expressão analítica completa não é necessária. A expansão pode ser interrompida após calcular os termos desejados, tornando-a eficiente para análise da resposta inicial de sistemas.

Uma limitação importante é a convergência da série: o método só é válido dentro da região de convergência (ROC) da Transformada Z, e a expansão em série deve considerar o comportamento analítico correto da função em sua ROC.

## Procedimento Prático

Para funções racionais  $X(z) = N(z)/D(z)$ :

1. Expressar como  $X(z) = N(z)/D(z)$  em potências de  $z^{-1}$
2. Aplicar divisão longa ou expansão binomial
3. Organizar o resultado como  $\sum_{n=0 \text{ até } \infty} c_n \cdot z^{-n}$
4. Identificar  $x[n] = c_n$  para cada  $n$



# Projeto de Filtros FIR: Método das Janelas



## Definição da Resposta Ideal

Especificação da resposta em frequência ideal  $H_d(e^{j\omega})$  do filtro desejado (tipicamente uma função "brick-wall" para filtros seletivos em frequência).



## Cálculo da Resposta ao Impulso Ideal

Obtenção da resposta ao impulso ideal  $h_d[n]$  pela transformada inversa de Fourier de  $H_d(e^{j\omega})$ , resultando geralmente em uma sequência infinita e não-causal.



## Truncamento e Aplicação da Janela

Multiplicação de  $h_d[n]$  por uma função janela  $w[n]$  de comprimento finito para obter a resposta ao impulso do filtro prático:

$$h[n] = h_d[n] \cdot w[n]$$



## Normalização e Ajuste

Ajuste dos coeficientes para garantir o ganho correto nas bandas de interesse e deslocamento para obter um filtro causal implementável.

A escolha da função janela influencia significativamente as características do filtro resultante. Janelas comuns incluem Retangular (menor largura de transição, maior ripple), Hamming, Hanning (compromisso intermediário) e Blackman, Kaiser (menor ripple, maior largura de transição).

# Funções de Janela para Projeto de Filtros FIR

## Janela Retangular

$$w[n] = 1, 0 \leq n \leq M-1 \\ = 0, \text{ caso contrário}$$

Mais simples, oferece a banda de transição mais estreita, mas apresenta o maior ripple (fenômeno de Gibbs) na resposta em frequência.

## Janela de Hamming

$$w[n] = 0.54 - 0.46\cos(2\pi n/(M-1)), \\ 0 \leq n \leq M-1$$

Balanceamento entre largura de transição e atenuação na banda de rejeição, muito popular em aplicações práticas.

## Janela de Blackman

$$w[n] = 0.42 - 0.5\cos(2\pi n/(M-1)) + \\ 0.08\cos(4\pi n/(M-1)), 0 \leq n \leq M-1$$

Excelente atenuação na banda de rejeição ( $\approx 74$  dB), mas com banda de transição mais larga.

## Janela de Kaiser

$$w[n] = I_0(\beta\sqrt{1-(2n/(M-1)-1)^2})/I_0(\beta), \\ 0 \leq n \leq M-1$$

Parametrizada por  $\beta$ , permite ajuste fino do compromisso entre largura de transição e ripple.  $I_0$  é a função de Bessel modificada de primeira espécie e ordem zero.

A escolha da janela depende das especificações do filtro desejado: quando a rejeição de banda é crítica, Blackman ou Kaiser são preferíveis; quando a transição abrupta é prioritária, a janela Retangular pode ser mais adequada, apesar do maior ripple.

# Projeto de Filtros FIR: Método de Parks-McClellan



## Algoritmo de Otimização

Também conhecido como algoritmo de Remez Exchange, utiliza técnicas de aproximação minimax para minimizar o erro máximo entre a resposta em frequência desejada e a resposta real.



## Comportamento Equiripple

Produz filtros com erro de aproximação distribuído uniformemente (equiripple) nas bandas de interesse, otimizando o uso da ordem do filtro para atender às especificações.



## Parâmetros de Entrada

Especificação de bandas de frequência, pesos de erro para cada banda, tipo de filtro (passa-baixa, passa-alta, etc.) e ordem desejada.



## Eficiência e Vantagens

Para uma dada ordem de filtro, proporciona a transição mais estreita possível entre bandas ou, inversamente, para dadas especificações, minimiza a ordem necessária do filtro.

O método de Parks-McClellan é considerado o estado da arte em projeto de filtros FIR quando a fase linear é requisito e a eficiência computacional é importante. Suas implementações estão disponíveis em praticamente todas as plataformas de processamento digital de sinais, através de funções como "firpm" ou "remez" no MATLAB/Octave.

A principal desvantagem é a complexidade conceptual e computacional do algoritmo, que pode ser um desafio para implementação manual, além de ocasionalmente apresentar problemas de convergência para filtros de ordem muito elevada.

# Projeto de Filtros IIR: Transformação de Filtros Analógicos



## Seleção do Filtro Analógico

Escolha de uma aproximação analógica clássica (Butterworth, Chebyshev, Elíptico) baseada nas características desejadas de magnitude da resposta em frequência.



## Projeto no Domínio $s$

Determinação da função de transferência  $H(s)$  que atende às especificações de frequência normalizadas ( $\omega = 1$  rad/s para frequência de corte).



## Aplicação de Transformação $s \rightarrow z$

Conversão de  $H(s)$  para  $H(z)$  utilizando métodos como invariância ao impulso, casamento de derivadas ou transformação bilinear, considerando requisitos de amostragem.



## Desnormalização e Ajustes

Adaptação das frequências para os valores reais desejados, considerando potenciais distorções introduzidas pela transformação (como pré-warping na transformação bilinear).

Este método aproveita décadas de desenvolvimento teórico em filtros analógicos, permitindo reutilizar técnicas bem estabelecidas. A transformação bilinear é particularmente popular por mapear todo o eixo  $j\omega$  no círculo unitário, preservando estabilidade e garantindo que não ocorra aliasing na frequência.

# Transformação Bilinear

## Definição Matemática

A transformação bilinear substitui a variável  $s$  na função de transferência analógica por:

$$s = (2/T) \cdot (z-1)/(z+1)$$

Onde  $T$  é o período de amostragem. Esta substituição mapeia:

- O semi-plano esquerdo de  $s$  no interior do círculo unitário de  $z$
- O eixo  $j\omega$  do plano  $s$  no círculo unitário  $|z|=1$
- $s = 0$  para  $z = 1$
- $s = \infty$  para  $z = -1$

A transformação bilinear é o método mais utilizado para conversão de filtros analógicos para digitais devido à sua simplicidade matemática e à preservação garantida da estabilidade. A distorção de frequência é mais pronunciada em altas frequências, tornando-se negligenciável quando a frequência de amostragem é muito maior que as frequências de interesse.

## Distorção de Frequência

A transformação introduz uma distorção na escala de frequência (warping), relacionando as frequências analógica ( $\Omega$ ) e digital ( $\omega$ ):

$$\begin{aligned}\Omega &= (2/T)\tan(\omega T/2) \text{ ou} \\ \omega &= (2/T)\arctan(\Omega T/2)\end{aligned}$$

Para compensar esta distorção, aplica-se pré-warping nas frequências críticas:

$$\Omega_p = (2/T)\tan(\omega_p T/2)$$

Onde  $\omega_p$  é a frequência digital desejada e  $\Omega_p$  é a frequência analógica a ser usada no projeto.

# Método da Invariância ao Impulso

## Princípio do Método

O método da invariância ao impulso mapeia a resposta ao impulso do sistema analógico  $h(t)$  para o sistema digital  $h[n]$  através de amostragem:

$$h[n] = T \cdot h(nT), n \geq 0$$

Onde  $T$  é o período de amostragem. Equivalentemente, no domínio da transformada:

$$H(z) = Z\{T \cdot h(nT)\}$$

A principal limitação deste método é a possível ocorrência de aliasing quando a resposta em frequência analógica não é limitada em banda, característica comum em filtros passa-alta e rejeita-faixa. Por isso, é mais adequado para filtros passa-baixa com frequência de corte muito menor que a frequência de Nyquist.

Outra vantagem é a preservação exata da resposta de magnitude na banda passante, embora possa introduzir distorções na fase que não existiam no filtro analógico original.

## Procedimento de Aplicação

Para funções de transferência racionais  $H(s)$ :

1. Expandir  $H(s)$  em frações parciais
2. Para cada polo simples em  $s = p_k$ :  $H_k(s) = A_k/(s-p_k) \rightarrow H_k(z) = A_k \cdot T \cdot z/(z-e^{p_k \cdot T})$
3. Combinar os termos resultantes para obter  $H(z)$

# Filtros IIR Clássicos: Butterworth

## Características Principais

O filtro Butterworth é caracterizado por uma resposta em magnitude "maximamente plana" na banda passante, sem ripple. A magnitude quadrática para um filtro passa-baixa de ordem N é dada por:

$$|H(j\omega)|^2 = 1/(1+(\omega/\omega_c)^{2N})$$

Onde  $\omega_c$  é a frequência de corte. O filtro apresenta um decaimento monotônico suave, com uma taxa assintótica de  $-20N$  dB/década na banda de rejeição.

O filtro Butterworth representa um compromisso equilibrado entre complexidade de implementação e desempenho. Sua banda de transição é mais larga que a de filtros Chebyshev ou Elípticos de mesma ordem, mas a ausência de ripple na banda passante o torna adequado para aplicações onde a distorção de amplitude deve ser minimizada.

É amplamente utilizado em aplicações de áudio e instrumentação, onde uma resposta suave e previsível é mais importante que seletividade extrema.

## Polos no Plano s

Os polos de um filtro Butterworth de ordem N estão localizados em um círculo de raio  $\omega_c$  no plano s, distribuídos uniformemente:

$$p_k = \omega_c \cdot e^{j(\pi/2 + \pi(2k-1)/(2N))}, \\ k = 1, 2, \dots, N$$

Esta configuração resulta em uma resposta em fase não-linear que se torna mais acentuada próximo à frequência de corte.

# Filtros IIR Clássicos: Chebyshev

## Chebyshev Tipo I

Apresenta ripple equalizado (equiripple) na banda passante e resposta monotônica na banda de rejeição. A magnitude para um filtro passa-baixa é:

$$|H(j\omega)|^2 = 1/(1+\varepsilon^2 T_N^2(\omega/\omega_c))$$

Onde  $T_N$  é o polinômio de Chebyshev de primeiro tipo de ordem  $N$  e  $\varepsilon$  controla a amplitude do ripple. Oferece transição mais abrupta que Butterworth de mesma ordem.

Os filtros Chebyshev oferecem uma transição mais abrupta entre bandas passante e de rejeição comparados aos Butterworth de mesma ordem, ao custo de introduzir ripple em uma das bandas. A taxa de decaimento assintótico é -20N dB/década, idêntica ao Butterworth, mas a transição inicial é mais rápida.

A não-linearidade de fase é mais pronunciada que nos filtros Butterworth, o que pode ser uma desvantagem em aplicações sensíveis à distorção de fase, como processamento de vídeo ou áudio de alta fidelidade.

## Chebyshev Tipo II

Apresenta resposta monotônica na banda passante e ripple equalizado na banda de rejeição:

$$|H(j\omega)|^2 = 1/(1+[\varepsilon T_N(\omega_c/\omega)]^2)$$

Útil quando o ripple na banda passante é inaceitável, mas algum ripple na banda de rejeição pode ser tolerado, mantendo uma transição relativamente abrupta.



# Filtros IIR Clássicos: Elíptico (Cauer)



## Características de Ripple

Apresenta comportamento equiripple tanto na banda passante quanto na banda de rejeição, resultando na transição mais abrupta possível para uma dada ordem de filtro.



## Eficiência de Ordem

Para especificações idênticas, requer a menor ordem entre todos os filtros IIR clássicos, tipicamente 50% menos que Butterworth e 30% menos que Chebyshev para a mesma seletividade.



## Complexidade Matemática

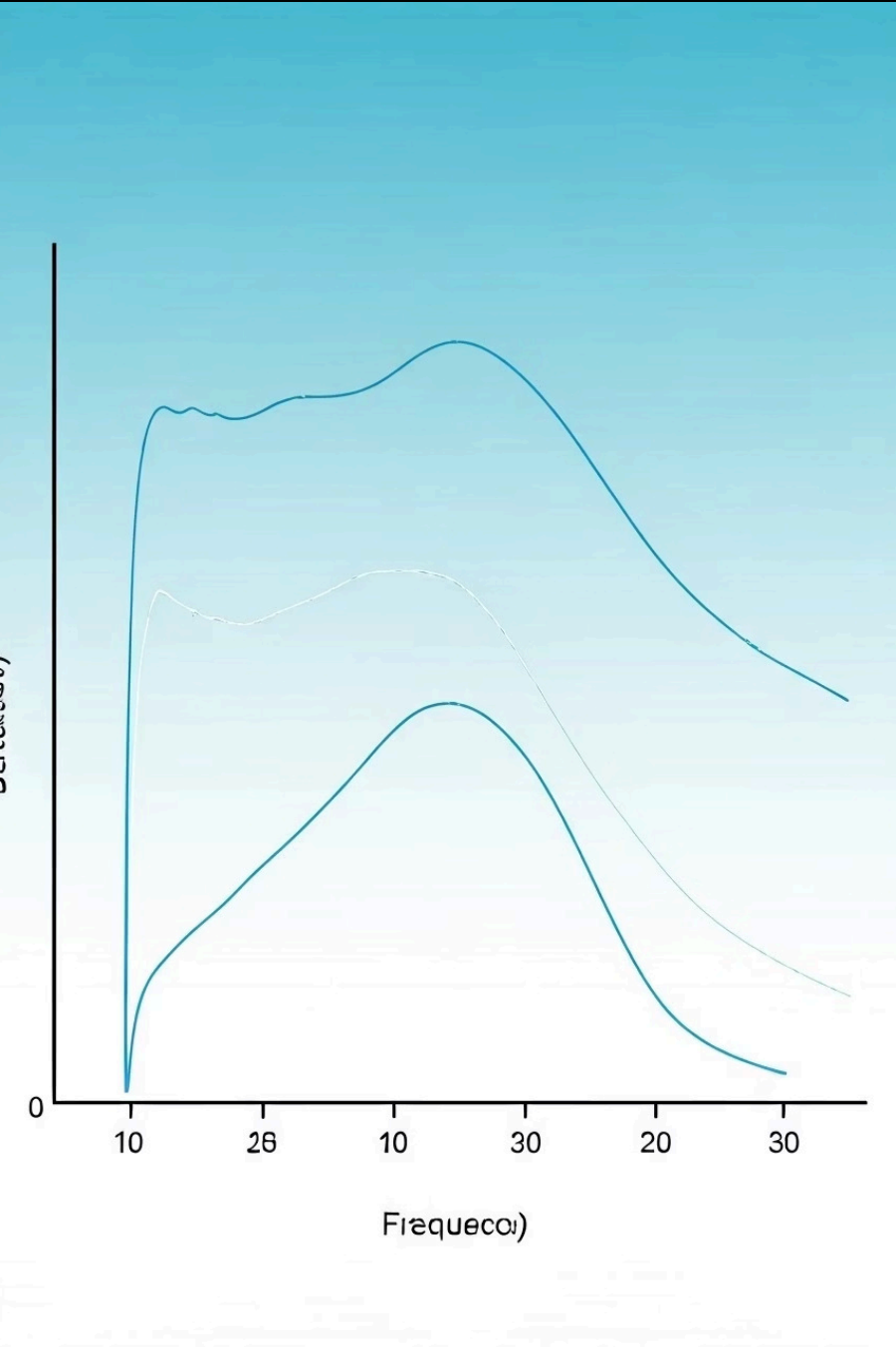
Baseia-se em funções elípticas de Jacobi, resultando em expressões matemáticas mais complexas e dificultando o projeto manual, embora ferramentas computacionais modernas minimizem este problema.



## Limitações

Apresenta a pior resposta de fase entre os filtros IIR clássicos, com distorção de fase significativa próximo às frequências de transição, podendo exigir equalização de fase em aplicações sensíveis.

Os filtros elípticos são a escolha ideal quando a eficiência computacional é crítica e a distorção de fase pode ser tolerada ou compensada. São amplamente utilizados em aplicações de comunicação, onde bandas de guarda estreitas são necessárias e a eliminação eficiente de interferências adjacentes é essencial.



# Comparação entre Filtros IIR Clássicos

Tipo de Filtro	Banda Passante	Banda de Rejeição	Transição	Fase
Butterworth	Maximamente plana	Monotônica	Moderada	Não-linear moderada
Chebyshev I	Equiripple	Monotônica	Abrupta	Não-linear acentuada
Chebyshev II	Monotônica	Equiripple	Abrupta	Não-linear acentuada
Elíptico	Equiripple	Equiripple	Mais abrupta	Não-linear severa

A escolha entre estes tipos de filtros depende das prioridades específicas da aplicação. Para processamento de áudio de alta fidelidade, Butterworth pode ser preferível devido à resposta de fase mais suave. Para aplicações de comunicação com requisitos estritos de banda, filtros elípticos oferecem máxima eficiência espectral.

Em implementações digitais, deve-se considerar também a sensibilidade à quantização de coeficientes e a complexidade computacional, que geralmente aumenta com a seletividade do filtro.

# Filtros de Fase Linear: Características e Importância

## Definição Matemática

Um filtro possui fase linear quando sua resposta de fase  $\theta(\omega)$  é uma função linear da frequência:

$$\theta(\omega) = -\alpha\omega$$

Onde  $\alpha$  é uma constante. No domínio do tempo, isto corresponde a um atraso puro de  $\alpha$  amostras, sem distorção na forma do sinal.

## Atraso de Grupo Constante

O atraso de grupo, definido como  $\tau_g(\omega) = -d\theta(\omega)/d\omega$ , é constante para filtros de fase linear, indicando que todas as componentes de frequência sofrem o mesmo atraso:

$$\tau_g(\omega) = \alpha$$

Isto preserva as relações temporais entre diferentes componentes do sinal, mantendo a forma de onda original.



### Aplicações em Áudio

Evita distorção harmônica temporal que poderia alterar a percepção de timbre e localização espacial de fontes sonoras.



### Processamento de Imagem

Preserva as relações espaciais entre elementos da imagem, crítico para detecção de bordas e reconhecimento de padrões.



### Comunicação de Dados

Minimiza a interferência intersimbólica em sistemas digitais, melhorando a taxa de erros de bit em canais limitados em banda.

Enquanto filtros FIR podem ser projetados com fase exatamente linear (coeficientes simétricos), filtros IIR geralmente apresentam fase não-linear. Em aplicações críticas onde a linearidade de fase é essencial, filtros FIR são preferidos apesar de sua maior ordem e custo computacional.

# Filtros FIR de Fase Linear: Tipos e Simetria

Tipo	Simetria	Comprimento	Comportamento em $\omega=0$	Comportamento em $\omega=\pi$
I	Simétrica par	Ímpar ( $M=2N+1$ )	Arbitrário	Arbitrário
II	Simétrica par	Par ( $M=2N$ )	Arbitrário	0
III	Antissimétrica ímpar	Ímpar ( $M=2N+1$ )	0	0
IV	Antissimétrica ímpar	Par ( $M=2N$ )	0	Arbitrário

A simetria dos coeficientes determina várias propriedades do filtro, incluindo o ganho DC ( $\omega=0$ ) e o ganho na frequência de Nyquist ( $\omega=\pi$ ). Por exemplo, filtros Tipo I podem implementar qualquer resposta em magnitude, enquanto filtros Tipo III sempre têm ganho zero em DC, tornando-os naturalmente adequados para filtros passa-alta.

A escolha do tipo apropriado depende da aplicação específica e das características espectrais desejadas. O Tipo I é o mais versátil e, portanto, o mais comumente utilizado em ferramentas de projeto automatizado.

# Filtros FIR vs. IIR: Análise Comparativa

## Filtros FIR

- Estabilidade garantida (todos os polos na origem)
- Fase linear possível (com coeficientes simétricos)
- Geralmente requerem maior ordem para mesma seletividade
- Menos sensíveis a efeitos de quantização
- Não têm potencial de oscilação por realimentação
- Atraso de grupo constante (com fase linear)

## Filtros IIR

- Potencialmente instáveis (polos podem sair do círculo unitário)
- Fase não-linear (distorção de fase inerente)
- Maior eficiência computacional para alta seletividade
- Mais sensíveis a efeitos de quantização
- Possibilidade de ciclos limite em aritmética de ponto fixo
- Atraso de grupo variável com a frequência

A escolha entre filtros FIR e IIR deve considerar o equilíbrio entre requisitos de fase, estabilidade, eficiência computacional e complexidade de implementação. Aplicações críticas para fase, como processamento de áudio profissional, tendem a preferir FIR, enquanto aplicações com restrições computacionais severas frequentemente optam por IIR.

Soluções híbridas também são possíveis, como equalização de fase para filtros IIR ou estruturas em cascata combinando seções FIR e IIR para otimizar diferentes aspectos da resposta.

# Exemplo Prático: Projeto de Filtro Passa-Baixa FIR



## Definição de Especificações

Frequência de amostragem: 44.1 kHz Frequência de passagem: 8 kHz ( $\omega_p = 0.36\pi$ ) Frequência de rejeição: 10 kHz ( $\omega_s = 0.45\pi$ )  
Atenuação na banda de rejeição: 60 dB Ripple na banda passante: 0.1 dB



## Determinação da Ordem do Filtro

Usando a regra empírica para a janela Kaiser:  $N \approx (A - 8)/(2.285 \cdot \Delta\omega)$  onde  $\Delta\omega = \omega_s - \omega_p$   $N \approx (60 - 8)/(2.285 \cdot 0.09\pi) \approx 101$  (arredondado para ímpar) Parâmetro  $\beta$  da janela Kaiser  $\approx 5.65$  (para 60 dB)



## Cálculo dos Coeficientes

Frequência de corte ideal:  $\omega_c = (\omega_p + \omega_s)/2 = 0.405\pi$  Resposta ao impulso ideal:  $h_d[n] = \sin(\omega_c(n-M/2))/(\pi(n-M/2))$  Aplicação da janela Kaiser:  $h[n] = h_d[n] \cdot w[n]$  Normalização para ganho unitário na banda passante

Este exemplo ilustra o processo completo de projeto de um filtro FIR pelo método das janelas. A janela Kaiser foi escolhida por permitir controle preciso do compromisso entre largura de transição e atenuação. O resultado é um filtro de ordem 101 (comprimento 102), que atende às especificações com fase perfeitamente linear.

# Exemplo Prático: Projeto de Filtro Passa-Alta IIR

1

## Especificações do Filtro

Frequência de amostragem: 16 kHz Frequência de corte: 2 kHz ( $\omega_c = 0.25\pi$ ) Ripple máximo na banda passante: 1 dB Atenuação mínima na banda de rejeição: 40 dB a 1.2 kHz

2

## Projeto do Filtro Analógico

Aplicação de pré-warping:  $\Omega_c = (2/T)\tan(\omega_c T/2) = 2\pi \cdot 2000 \cdot \tan(0.25\pi/2) \approx 2\pi \cdot 2188$  rad/s Determinação da ordem mínima para Chebyshev Tipo I:  $N = 4$  Projeto do filtro passa-baixa normalizado com ripple de 1 dB

3

## Transformação de Frequência

Transformação de passa-baixa para passa-alta:  $s \rightarrow \Omega_c/s$  Cálculo da função de transferência  $H(s)$  do filtro passa-alta analógico

4

## Conversão para Filtro Digital

Aplicação da transformação bilinear:  $s = (2/T)(z-1)/(z+1)$  Obtenção da função de transferência digital  $H(z)$  Representação na forma de equação de diferença para implementação

Este exemplo demonstra o processo de projeto de um filtro IIR utilizando a abordagem de transformação de filtros analógicos. A aproximação Chebyshev Tipo I foi escolhida para maximizar a seletividade, aceitando algum ripple na banda passante. O filtro digital resultante é de ordem 4, significativamente mais eficiente que um FIR equivalente, que exigiria ordem aproximada de 50-60 para especificações similares.

# Exemplo Prático: Filtro Rejeita-Faixa (Notch)

## Aplicação Típica

Filtragem de interferência de 60 Hz em sinais biomédicos como ECG e EEG, com frequência de amostragem de 1 kHz.

Rejeição profunda em 60 Hz com banda estreita para preservar ao máximo a informação do sinal biológico.

Requisitos: rejeição de pelo menos 40 dB em 60 Hz, banda de rejeição de  $\pm 2$  Hz, fase linear nas bandas passantes para preservação da forma de onda.

## Abordagem FIR vs. IIR

### Solução FIR:

Utilizando projeto com janela Kaiser, requer ordem aproximada de 375 para atingir a seletividade necessária, resultando em atraso de grupo significativo (187.5 ms).

### Solução IIR:

Filtro notch de segunda ordem com polos e zeros:

$$H(z) = \frac{(1 - 2\cos(\omega_0)z^{-1} + z^{-2})}{(1 - 2r\cos(\omega_0)z^{-1} + r^2z^{-2})}$$

Onde  $\omega_0 = 2\pi \cdot 60/1000$  e  $r \approx 0.98$  controla a largura da banda de rejeição.

Muito mais eficiente (ordem 2), mas introduz distorção de fase.

Este exemplo ilustra o compromisso entre eficiência computacional e linearidade de fase. Para aplicações de monitoramento em tempo real, a solução IIR oferece vantagens significativas de latência, enquanto para análise offline onde a precisão da forma de onda é crítica, o filtro FIR pode ser preferível apesar do maior custo computacional.



# Introdução ao MATLAB/Octave para Análise de Filtros



## Signal Processing Toolbox

Conjunto de funções especializadas para projeto e análise de filtros digitais, disponível tanto no MATLAB comercial quanto no GNU Octave (alternativa open-source).



## Funções de Projeto

Ferramentas para projeto de filtros FIR (fir1, firpm, firls) e IIR (butter, cheby1, cheby2, ellip), com especificação direta de parâmetros como ordem, frequências de corte e ripple.



## Funções de Análise

Cálculo e visualização de resposta em frequência (freqz), resposta ao impulso (impz), resposta ao degrau (stepz), diagramas de polo-zero (zplane) e atraso de grupo (grpdelay).

## Simulação e Implementação

Aplicação de filtros a sinais (filter, filtfilt), conversão entre representações (tf2sos, tf2zp), quantização de coeficientes (quantize) e exportação para implementação em hardware (generatehdl).

O MATLAB/Octave oferece um ambiente interativo ideal para experimentação com diferentes tipos e ordens de filtros, permitindo comparação rápida e visualização intuitiva dos resultados. A sintaxe de alto nível e as amplas capacidades gráficas facilitam o aprendizado dos conceitos fundamentais de processamento de sinais.

# MATLAB: Projeto e Análise de Filtros FIR

## Exemplo de Código: Filtro FIR Passa-baixa

```
% Parâmetros do filtro
fs = 44100;      % Frequência de amostragem
fc = 5000;       % Frequência de corte
N = 101;        % Ordem do filtro (ímpar)

% Projeto usando janela de Hamming
b = fir1(N-1, 2*fc/fs, 'low', hamming(N));

% Análise de resposta em frequência
[h, w] = freqz(b, 1, 1024);
f = w*fs/(2*pi); % Conversão para Hz

% Visualização
plot(f, 20*log10(abs(h)));
xlabel('Frequência (Hz)');
ylabel('Magnitude (dB)');
title('Resposta do Filtro FIR');
```

## Funções Avançadas para FIR

Projeto com método de Parks-McClellan:

```
b = firpm(N-1, [0 0.2 0.3 1], [1 1 0 0]);
```

Projeto com mínimos quadrados:

```
b = firls(N-1, [0 0.2 0.3 1], [1 1 0 0]);
```

Análise de fase e atraso de grupo:

```
grp = grpdelay(b, 1, 1024);
plot(f, grp); title('Atraso de Grupo');
```

Visualização de polos e zeros:

```
zplane(b, 1);
```

O MATLAB simplifica enormemente o processo de projeto, oferecendo implementações otimizadas dos principais algoritmos. A função `fir1` implementa o método das janelas, enquanto `firpm` implementa o algoritmo de Parks-McClellan para projeto de filtros com comportamento equiripple. A visualização da resposta em frequência permite verificação imediata da conformidade com as especificações desejadas.

# MATLAB: Projeto e Análise de Filtros IIR

## Exemplo de Código: Filtro IIR Butterworth

```
% Parâmetros do filtro
fs = 44100;      % Frequência de amostragem
fc = 1000;       % Frequência de corte
ordem = 6;       % Ordem do filtro

% Projeto do filtro passa-baixa
[b, a] = butter(ordem, 2*fc/fs);

% Análise de resposta em frequência
[h, w] = freqz(b, a, 1024);
f = w*fs/(2*pi); % Conversão para Hz

% Visualização
subplot(2,1,1);
plot(f, 20*log10(abs(h)));
xlabel('Frequência (Hz)');
ylabel('Magnitude (dB)');
title('Resposta de Magnitude');

subplot(2,1,2);
plot(f, unwrap(angle(h)));
xlabel('Frequência (Hz)');
ylabel('Fase (rad)');
title('Resposta de Fase');
```

## Outros Tipos de Filtros IIR

Filtro Chebyshev Tipo I:

```
[b, a] = cheby1(ordem, ripple, 2*fc/fs);
```

Filtro Chebyshev Tipo II:

```
[b, a] = cheby2(ordem, atenuacao, 2*fc/fs);
```

Filtro Elíptico:

```
[b, a] = ellip(ordem, ripple, atenuacao, 2*fc/fs);
```

Conversão para seções de segunda ordem (mais estável numericamente):

```
sos = tf2sos(b, a);
[h, w] = freqz(sos, 1024);
```

As funções de projeto do MATLAB implementam diretamente a abordagem de transformação de filtros analógicos, aplicando automaticamente a transformação bilinear com pré-warping. O código acima gera um filtro passa-baixa, mas outros tipos podem ser obtidos usando as mesmas funções com especificações de frequência adaptadas: 'high' para passa-alta, [fcl fch] para passa-faixa, e 'stop' para rejeita-faixa.

# Python e SciPy para Processamento de Sinais



## Vantagens do Ecossistema Python

Linguagem open-source com ampla comunidade, integração perfeita com outras bibliotecas para aprendizado de máquina, análise estatística e visualização científica como NumPy, Pandas, Matplotlib e scikit-learn.



## Ambiente Jupyter

Notebooks Jupyter permitem desenvolvimento interativo com código, visualizações e documentação integrados, ideal para prototipagem e experimentação com filtros digitais.



## Módulo `scipy.signal`

Implementação avançada de funções para processamento de sinais, incluindo projeto e análise de filtros, transformadas, janelas, e processamento de imagem, com API similar à do MATLAB para facilitar a transição.



## Desempenho Computacional

Núcleo NumPy otimizado em C/Fortran proporciona desempenho próximo ao de linguagens compiladas, com possibilidade de paralelização via bibliotecas como Numba ou interface com GPU através de CuPy ou TensorFlow.

Python tornou-se uma plataforma dominante para processamento de sinais tanto acadêmico quanto industrial, combinando facilidade de uso com desempenho adequado para maioria das aplicações. A integração com ferramentas de aprendizado de máquina o torna particularmente vantajoso para aplicações modernas que combinam processamento de sinais clássico com técnicas de IA.

# Exemplo em Python: Análise de Filtros FIR e IIR

## Código para Comparação de Filtros

```
import numpy as np
from scipy import signal
import matplotlib.pyplot as plt

# Parâmetros comuns
fs = 1000    # Frequência de amostragem em Hz
cutoff = 100  # Frequência de corte em Hz
nyq = 0.5 * fs  # Frequência de Nyquist

# Projeto de filtro FIR (janela Hamming)
n_taps = 101  # Número de coeficientes
b_fir = signal.firwin(n_taps, cutoff/nyq)
a_fir = [1.0]  # Filtro FIR: apenas numerador

# Projeto de filtro IIR (Butterworth)
order = 4  # Ordem do filtro
b_iir, a_iir = signal.butter(order, cutoff/nyq)

# Análise de resposta em frequência
w, h_fir = signal.freqz(b_fir, a_fir)
w, h_iir = signal.freqz(b_iir, a_iir)
f = w * fs / (2 * np.pi)  # Converter para Hz
```

## Visualização e Análise Comparativa

```
# Plotar resposta de magnitude
plt.figure(figsize=(10, 8))
plt.subplot(2, 1, 1)
plt.plot(f, 20*np.log10(np.abs(h_fir)),
         'b', label='FIR')
plt.plot(f, 20*np.log10(np.abs(h_iir)),
         'r--', label='IIR')
plt.title('Resposta de Magnitude')
plt.ylabel('Amplitude (dB)')
plt.xlim(0, 250)
plt.grid(True)
plt.legend()

# Plotar resposta de fase
plt.subplot(2, 1, 2)
plt.plot(f, np.unwrap(np.angle(h_fir)),
         'b', label='FIR')
plt.plot(f, np.unwrap(np.angle(h_iir)),
         'r--', label='IIR')
plt.title('Resposta de Fase')
plt.xlabel('Frequência (Hz)')
plt.ylabel('Fase (rad)')
plt.xlim(0, 250)
plt.grid(True)
plt.legend()
plt.tight_layout()
plt.show()
```

Este exemplo demonstra a implementação e comparação de filtros FIR e IIR em Python usando o pacote `scipy.signal`. O código projeta um filtro FIR usando o método de janela (`firwin`) e um filtro IIR Butterworth (`butter`), permitindo visualizar e comparar diretamente suas respostas em magnitude e fase.

# Efeitos de Precisão Finita em Filtros Digitais

## Quantização de Coeficientes

Em implementações de hardware com precisão limitada (ponto fixo), os coeficientes teóricos do filtro são arredondados ou truncados, alterando a localização real de polos e zeros.

Este efeito é mais pronunciado em filtros IIR de alta ordem ou com polos próximos ao círculo unitário, podendo até mesmo comprometer a estabilidade quando polos cruzam o círculo unitário devido à quantização.

## Ruído de Quantização

A quantização dos sinais internos após cada operação aritmética introduz um ruído aditivo que se propaga através do sistema, afetando a relação sinal-ruído da saída.

Em filtros recursivos (IIR), este ruído pode ser amplificado significativamente, especialmente em frequências próximas a polos com magnitude quase unitária.

## Ciclos Limite

Oscilações sustentadas que podem ocorrer em filtros IIR mesmo com entrada zero, devido à aritmética de precisão finita e não-linearidades introduzidas pela quantização em operações de realimentação.

Manifestam-se como oscilações periódicas ou comportamento caótico, particularmente problemáticos em aplicações de áudio onde podem ser percebidos como tons parasitas.

A compreensão destes efeitos é essencial para implementações robustas em hardware digital, especialmente em sistemas embarcados com recursos computacionais limitados. Técnicas de mitigação incluem o uso de estruturas em cascata, aritmética de dupla precisão em nós críticos e dithering para reduzir ciclos limite.

# Técnicas para Mitigar Efeitos de Precisão Finita

## Escolha de Estruturas Otimizadas

- Implementação em cascata de seções de segunda ordem (SOS) para distribuir a sensibilidade numérica
- Formas de estado mínimo para reduzir acúmulo de erros e overflow
- Estruturas norm-scaled para equalizar a faixa dinâmica entre nós internos
- Filtros Wave Digital (WDF) que preservam propriedades físicas como passividade

## Estratégias de Arredondamento

- Arredondamento em vez de truncamento para reduzir polarização do erro
- Técnicas de error feedback para compensar erros de quantização
- Dithering (adição de ruído de baixa amplitude) para prevenir ciclos limite
- Quantização vetorial para minimizar erro global em conjuntos de coeficientes

### Escalonamento de Sinais

Ajuste dinâmico da amplitude dos sinais para maximizar a precisão numérica enquanto evita overflow, particularmente importante em arquiteturas de ponto fixo.

### Aritmética de Precisão Mista

Uso de maior precisão em operações críticas (como acumuladores) enquanto mantém precisão padrão para operações menos sensíveis, otimizando o compromisso entre precisão e eficiência.



### Validação Extensiva

Simulação de condições extremas de entrada e análise estatística do comportamento do filtro sob quantização antes da implementação final em hardware.

A escolha adequada destas técnicas pode melhorar drasticamente o desempenho de filtros digitais em implementações de precisão finita, permitindo atingir especificações rigorosas mesmo com recursos computacionais limitados.

# Implementação em Hardware Embarcado

## Processadores Digitais de Sinais (DSPs)

Arquiteturas especializadas com instruções otimizadas para processamento de sinais como MAC (Multiply-Accumulate) em um único ciclo, registradores duplos para acesso simultâneo a dados e unidades de hardware para operações específicas como FFT.

Exemplos: Texas Instruments TMS320 series, Analog Devices SHARC, ARM Cortex-M4F com extensões DSP.

## FPGAs e ASICs

Implementação direta em hardware com paralelismo massivo, permitindo throughput extremamente alto e latência mínima para aplicações críticas em tempo real.

Suporte para aritmética personalizada (largura de bits variável, ponto fixo otimizado) e paralelização completa da estrutura do filtro para máximo desempenho.



### Fluxo de Desenvolvimento

Prototipagem em ambientes como MATLAB ou Python, seguida por tradução para C/C++ otimizado ou linguagens de descrição de hardware como VHDL/Verilog para FPGA.



### Considerações de Memória

Gerenciamento cuidadoso de buffers e estruturas de dados para otimizar acesso à memória e minimizar latência, especialmente importante em sistemas com restrições de memória.



### Eficiência Energética

Técnicas como clock gating, voltage scaling e desativação seletiva de unidades funcionais para reduzir consumo de energia em dispositivos alimentados por bateria.

A implementação em hardware embarcado exige consideração cuidadosa das características específicas da plataforma alvo, envolvendo frequentemente compromissos entre precisão numérica, eficiência energética, desempenho em tempo real e custo de hardware.



# Ferramentas para Geração Automática de Código

## MATLAB HDL Coder

Gera código VHDL/Verilog a partir de modelos MATLAB, Simulink ou funções MATLAB, suportando filtragem digital, transformadas e outros algoritmos de processamento de sinais. Realiza automaticamente otimizações como unrolling de loops e pipelining.



## MATLAB Coder

Converte algoritmos MATLAB em código C/C++ otimizado e independente, permitindo integração com ambientes de desenvolvimento para microcontroladores e DSPs. Suporta geração de código para filtros digitais com precisão fixa ou flutuante.

## Kits de Desenvolvimento de DSP

Ferramentas como Code Composer Studio (Texas Instruments) e CrossCore Embedded Studio (Analog Devices) oferecem bibliotecas otimizadas de filtros digitais e assistentes de geração de código específicos para suas arquiteturas.

## MyHDL e Ferramentas Python

Converte código Python em VHDL/Verilog, permitindo descrição de alto nível de filtros digitais com verificação funcional na mesma linguagem. Myphdl, Migen e nMigen oferecem abstrações para projetos de processamento de sinais em FPGA.

Estas ferramentas reduzem significativamente o tempo de desenvolvimento e a probabilidade de erros na implementação, automatizando a tradução de algoritmos matemáticos para código otimizado. Além disso, facilitam a exploração rápida de diferentes arquiteturas de implementação, permitindo avaliar compromissos entre área, desempenho e consumo de energia.

# Abordagens Avançadas: Filtros Adaptáveis

## Princípio de Funcionamento

Filtros adaptáveis ajustam automaticamente seus coeficientes baseados em critérios de otimização, tipicamente minimizando o erro entre a saída do filtro e um sinal de referência.

A adaptação permite que o filtro responda a características variantes no tempo do sinal ou do ambiente, sem necessidade de reprojetado manual.

## Algoritmos de Adaptação

- **LMS (Least Mean Squares):** Algoritmo de gradiente estocástico que atualiza coeficientes proporcionalmente ao erro instantâneo.
- **RLS (Recursive Least Squares):** Convergência mais rápida que o LMS, mas maior complexidade computacional.
- **Filtro de Kalman:** Abordagem estatística ótima para sistemas lineares com ruído gaussiano.



### Cancelamento de Ruído

Remoção adaptativa de interferências em sinais de interesse, utilizando correlação entre o ruído e uma referência, aplicada em fones de ouvido com cancelamento ativo e processamento de voz.



### Equalização de Canal

Compensação de distorções introduzidas por canais de comunicação, fundamental em modems, comunicações móveis e sistemas de transmissão digital de alta velocidade.



### Cancelamento de Eco

Eliminação de reflexões de sinal em sistemas telefônicos e videoconferência, melhorando a qualidade da comunicação bidirecional sobre um mesmo canal.

Os filtros adaptáveis representam uma extensão poderosa dos conceitos da Transformada Z, utilizando as mesmas estruturas básicas de filtros digitais, mas com capacidade de auto-otimização contínua. Esta adaptabilidade é crucial em ambientes não-estacionários ou quando as características exatas do sinal são desconhecidas a priori.

# Abordagens Avançadas: Bancos de Filtros

## Conceito e Estrutura

Bancos de filtros são arranjos de filtros passa-banda que decompõem o sinal de entrada em múltiplas sub-bandas, cada uma cobrindo uma porção do espectro original.

Podem ser organizados em estruturas de análise (decomposição) e síntese (reconstrução), com propriedades especiais como reconstrução perfeita ou quase-perfeita.

## Classificação e Tipos

- **Critically Sampled:** Cada sub-banda é decimada para manter o mesmo número total de amostras que o sinal original.
- **Oversampled:** Mantém redundância para melhorar robustez e reduzir artefatos.
- **Uniformes:** Todas as sub-bandas têm a mesma largura de banda.
- **Não-Uniformes:** Sub-bandas com larguras diferentes, frequentemente seguindo escalas perceptuais como a escala mel ou Bark.



### Codificação e Compressão

Fundamento de codecs como MP3, AAC e JPEG, onde a alocação de bits é otimizada para cada sub-banda baseada em critérios perceptuais.



### Análise Espectral

Alternativa às transformadas de Fourier para análise tempo-frequência, oferecendo melhor localização temporal para sinais não-estacionários.



### Equalização Multibanda

Processamento independente em diferentes faixas de frequência, permitindo controle preciso em aplicações de áudio profissional e telecomunicações.

Os bancos de filtros representam uma aplicação sofisticada da teoria dos filtros digitais, estendendo os conceitos básicos para processamento em múltiplas escalas. A Transformada Wavelet, por exemplo, pode ser implementada como um banco de filtros especial com decomposição recursiva, permitindo análise multirresolução de sinais com características variantes no tempo.

# Relação Entre Transformada Z e Outras Transformadas

## Transformada Z e Transformada de Laplace

A Transformada Z pode ser vista como uma versão discretizada da Transformada de Laplace, com a relação:

$$z = e^{sT}$$

Onde  $T$  é o período de amostragem e  $s$  é a variável complexa da Transformada de Laplace. Esta conexão facilita a conversão entre sistemas contínuos e discretos.

## Transformada Z e Transformada Wavelet

A Transformada Wavelet Discreta pode ser implementada através de bancos de filtros, cujas funções de transferência são expressas usando a Transformada Z.

Filtros wavelets específicos, como Daubechies e Coiflets, podem ser projetados como filtros digitais de fase linear usando as técnicas de projeto no domínio Z.

A compreensão das relações entre diferentes transformadas cria uma base teórica unificada para o processamento de sinais, permitindo aproveitar ferramentas matemáticas complementares e transferir insights entre domínios contínuos e discretos, uni e multidimensionais.

## Transformada Z e Transformada de Fourier

A DTFT (Discrete-Time Fourier Transform) é um caso especial da Transformada Z, avaliada no círculo unitário:

$$X(e^{j\omega}) = X(z) \mid z=e^{j\omega}$$

A DFT (Discrete Fourier Transform) e FFT (Fast Fourier Transform) são versões amostradas da DTFT, fundamentais para implementação computacional eficiente.

## Transformada Z Bidimensional

Extensão da Transformada Z para sinais bidimensionais (imagens), onde:

$$X(z_1, z_2) = \sum \sum x[n, m] z_1^{-n} z_2^{-m}$$

Utilizada para análise e projeto de filtros 2D com aplicações em processamento de imagens e visão computacional.

# Considerações sobre a Ordem dos Filtros



## Impacto no Desempenho

Aumentar a ordem do filtro geralmente melhora suas características seletivas: banda de transição mais estreita, maior atenuação na banda de rejeição e menor ripple na banda passante. Entretanto, há retornos diminuídos, exigindo ordens muito maiores para pequenas melhorias adicionais.

## Latência e Atraso de Grupo

Filtros FIR de fase linear introduzem atraso proporcional à metade de sua ordem. Para aplicações em tempo real com restrições de latência, como áudio interativo ou controle de processos, isto impõe limites práticos à ordem máxima utilizável.

## Custo Computacional

A complexidade computacional cresce linearmente com a ordem em filtros FIR ( $O(N)$  operações por amostra) e pode crescer quadraticamente em implementações diretas de filtros IIR de ordem elevada, embora implementações em cascata reduzam isso para crescimento linear.

## Estabilidade Numérica

Filtros IIR de ordem elevada são mais suscetíveis a problemas de precisão numérica, com risco de instabilidade quando implementados em aritmética de ponto fixo. Estruturas em cascata de seções de segunda ordem mitigam este problema, mas aumentam a complexidade de implementação.

A escolha da ordem ideal de um filtro envolve balancear requisitos técnicos com restrições práticas. Em muitos casos, ligeiro relaxamento nas especificações (como pequeno aumento na largura da banda de transição) pode permitir redução significativa na ordem necessária, com benefícios substanciais em termos de eficiência e estabilidade.

# Estudo de Caso: Análise de Sinais de Áudio

## Contextualização do Problema

Gravação de voz com ruído ambiental significativo (ventiladores, equipamentos eletrônicos) e interferência de linha de energia (60 Hz). Objetivo: extrair o sinal vocal limpo para posterior reconhecimento automático e análise linguística.

## Análise Espectral

Aplicação de FFT e visualização em espectrograma revelou componentes de ruído estacionário concentrado abaixo de 100 Hz (ruído ambiental), interferência de linha de energia a 60 Hz e harmônicos, e sinal vocal concentrado principalmente entre 300 Hz e 3.4 kHz.

## Estratégia de Filtragem

Abordagem em múltiplos estágios: filtro Butterworth passa-alta de 4ª ordem ( $f_c = 150$  Hz) para remover componentes de baixa frequência; filtro notch IIR de 2ª ordem centrado em 60 Hz para eliminar interferência de linha de energia; filtro passa-baixa Chebyshev tipo II de 6ª ordem ( $f_c = 3.5$  kHz) para limitar ruído de alta frequência.

## Implementação e Resultados

Implementação em Python usando `scipy.signal`, com cascadeamento dos três filtros. Medições objetivas mostraram melhoria de 14 dB na relação sinal-ruído e redução de 82% na energia dos componentes de ruído. Avaliação subjetiva por três especialistas confirmou preservação das características essenciais da fala com mínima distorção.

Este caso demonstra a aplicação prática de filtros digitais em condições reais, onde a combinação adequada de diferentes tipos de filtros consegue atingir objetivos que seriam difíceis de alcançar com uma abordagem de filtragem única. A análise cuidadosa das características espectrais do sinal e ruído foi fundamental para o sucesso da estratégia.

# Estudo de Caso: Filtragem em Sensores Biomédicos

## Características do Sinal ECG

O sinal de eletrocardiograma (ECG) apresenta componentes fundamentais entre 0.5 Hz e 40 Hz, com o complexo QRS (principal indicador de batimento) concentrado na faixa de 10-25 Hz.

Amplitudes típicas entre 0.5-5 mV, sujeitas a ruídos de linha de energia (60 Hz), contração muscular (EMG, banda larga), respiração (0.1-0.5 Hz) e artefatos de movimento (abaixo de 1 Hz).

## Desafios de Filtragem

Necessidade de preservar morfologia exata do sinal para diagnóstico médico preciso, especialmente intervalos e segmentos entre ondas.

Filtragem excessiva pode eliminar características clinicamente relevantes, enquanto filtragem insuficiente prejudica algoritmos automáticos de detecção de eventos.

Requisitos de processamento em tempo real para monitoramento contínuo, com restrições de consumo de energia em dispositivos portáteis.



### Correção de Linha de Base

Filtro passa-alta FIR de fase linear ( $f_c=0.5$  Hz) para remover flutuações de linha de base causadas por respiração e movimento, preservando componentes de baixa frequência do ECG.



### Remoção de Ruído de Linha

Filtro notch IIR estreito em 60 Hz, implementado como filtro IIR de segunda ordem para eficiência computacional, com fator de qualidade  $Q=30$  para minimizar impacto nas componentes adjacentes.



### Limitação de Banda

Filtro passa-baixa FIR equiripple ( $f_c=40$  Hz) projetado com algoritmo de Parks-McClellan, otimizado para minimizar ripple na banda passante e maximizar atenuação acima de 100 Hz.

Esta abordagem combinada resultou em sinal ECG com relação sinal-ruído 23 dB superior ao original, permitindo detecção robusta de eventos cardíacos mesmo em condições adversas de monitoramento ambulatorial.

# Ferramentas Interativas para Educação em Filtros Digitais



## Simuladores Online

Aplicações web como DSP First Interactive Tools e MATLAB Filter Designer Online permitem manipulação em tempo real de parâmetros de filtros e visualização imediata dos efeitos na resposta em frequência e no domínio do tempo, facilitando a compreensão intuitiva.



## Notebooks Interativos

Ambientes como Jupyter permitem combinar explicações teóricas, código executável e visualizações dinâmicas em um único documento, ideal para ensino e aprendizagem exploratória de conceitos como relação entre polos/zeros e resposta em frequência.



## Aplicativos Móveis

Ferramentas como DSP Calculator e Filter Playground oferecem experiências educacionais em dispositivos móveis, permitindo experimentação com filtros durante aulas práticas ou estudo independente, com interfaces intuitivas para definição de filtros e aplicação em sinais reais.



## Kits de Desenvolvimento

Plataformas físicas como TI LaunchPad, STM32 Discovery e Arduino com shields de áudio permitem implementação prática de filtros em hardware real, proporcionando experiência hands-on com considerações de implementação em tempo real.

Estas ferramentas modernas transformam o aprendizado de filtros digitais, historicamente visto como matematicamente desafiador, em uma experiência interativa e intuitiva. A visualização imediata das relações entre parâmetros e comportamento do filtro permite desenvolvimento de intuição profunda sobre o assunto, complementando o entendimento formal das equações e transformadas.



# Tendências Futuras no Processamento Digital de Sinais

## Integração com Inteligência Artificial

Filtros adaptativos evoluindo para incorporar técnicas de deep learning, permitindo detecção e filtragem de padrões complexos não-lineares que filtros tradicionais não conseguem capturar eficientemente.

## Computação Quântica

Exploração de algoritmos quânticos para transformadas e processamento de sinais, potencialmente revolucionando a eficiência de operações fundamentais como convolução e análise espectral em aplicações de grande escala.



## Hardware Especializado

Desenvolvimento de ASICs e aceleradores neurais otimizados para processamento de sinais, combinando técnicas clássicas baseadas em Transformada Z com arquiteturas de computação neuromórfica inspiradas no cérebro.

## Computação de Borda

Migração do processamento para dispositivos de ponta da rede, exigindo algoritmos de filtragem ultra-eficientes que possam operar com recursos computacionais e energéticos extremamente limitados.

O futuro do processamento digital de sinais provavelmente verá a convergência de técnicas tradicionais baseadas em Transformada Z com paradigmas emergentes de computação. A combinação de conhecimentos matemáticos sólidos com novas arquiteturas computacionais promete expandir significativamente os limites do que é possível realizar em termos de extração de informação de sinais complexos.

# Principais Aprendizados sobre a Transformada Z



A Transformada Z emerge como uma ferramenta matemática fundamental para engenheiros e cientistas, proporcionando uma ponte entre a descrição temporal de sinais discretos e sua representação no domínio da frequência complexa. Esta dualidade permite explorar as propriedades dos sistemas sob diferentes perspectivas complementares.

O domínio dos conceitos da Transformada Z, desde a interpretação de polos e zeros até as técnicas de projeto de filtros, estabelece a base para compreensão aprofundada dos sistemas digitais modernos que permeiam praticamente todas as áreas da tecnologia contemporânea.

# Considerações sobre Precisão Numérica

## Aritmética de Ponto Fixo vs. Ponto Flutuante

A escolha entre representações de ponto fixo e ponto flutuante tem implicações profundas na implementação de filtros digitais:

- **Ponto Fixo:** Maior eficiência computacional e menor consumo de energia, mas faixa dinâmica limitada e maior suscetibilidade a overflows e underflows.
- **Ponto Flutuante:** Ampla faixa dinâmica e menor preocupação com escalamento, ao custo de maior complexidade de hardware e consumo energético.

A compreensão destes efeitos é particularmente importante em implementações de hardware dedicado, como FPGAs e ASICs, onde o controle preciso sobre a representação numérica é possível e necessário. Técnicas como análise de pior caso, simulação de Monte Carlo e testes com sinais de entrada específicos são essenciais para validar a robustez de implementações em precisão finita.

Em última análise, o projeto de filtros digitais reais deve considerar não apenas as características teóricas ideais, mas também o comportamento sob restrições práticas de implementação, buscando o melhor compromisso entre desempenho, complexidade e confiabilidade.

## Quantização de Coeficientes e Sinais

Efeitos da precisão finita manifestam-se de diferentes formas:

- **Erro nas Bandas Passantes:** Alterações no ganho e ripple devido à quantização de coeficientes.
- **Deslocamento de Polos e Zeros:** Potencialmente comprometendo estabilidade em filtros IIR.
- **Ruído de Quantização:** Introdução de ruído aditivo que pode ser modelado estatisticamente.
- **Ciclos Limite:** Oscilações auto-sustentadas em estruturas recursivas devido a não-linearidades da quantização.

# Conclusão e Próximos Passos



## Aprofunde seu Conhecimento Prático

Desenvolva seus próprios projetos de filtros digitais utilizando MATLAB, Python ou ferramentas especializadas. Implemente-os em plataformas reais como Arduino, Raspberry Pi ou DSPs dedicados.

2

## Explore Áreas de Especialização

Áudio profissional, processamento de imagens médicas, comunicações sem fio, automação industrial e muitas outras áreas aplicam extensivamente os conceitos de Transformada Z e filtros digitais.



## Acompanhe as Inovações

O campo está em constante evolução, com novas técnicas surgindo na interseção entre processamento de sinais tradicional e aprendizado de máquina, computação quântica e outros paradigmas emergentes.

Ao concluir este estudo sobre a Transformada Z e filtros digitais, você adquiriu uma base sólida em uma das ferramentas matemáticas mais poderosas e versáteis da engenharia moderna. Os conceitos e técnicas apresentados servem como fundamento para inúmeras aplicações que estão transformando praticamente todos os campos tecnológicos.

O domínio destes conhecimentos abre portas para carreiras em telecomunicações, processamento de áudio e vídeo, instrumentação médica, sistemas de controle, processamento de fala e imagens, entre muitas outras. À medida que nossa sociedade se torna cada vez mais dependente de tecnologias digitais, a demanda por profissionais com expertise em processamento digital de sinais continua a crescer exponencialmente.